

Warszawa, dn. 2024-03-10

T-Mobile Polska S.A.
ul. Marynarska 12
02-674 Warszawa

Pełnomocnik: [REDACTED]
Pełnomocnictwo numer: 159/01/21

z dnia: 2021-01-13

dane do korespondencji:

NetWorks Sp. z o.o.
ul. Józefa Piusa Dziekońskiego 3
00-728 Warszawa
tel. 506401236

Prezydent Miasta Białystok
Urząd Miejski w Białymstoku
ul. Słonimska 1
15-950 Białystok

Dotyczy: ustawowego obowiązku, wynikającego z art. 152 ust. 1 i ust. 7 w związku z ust. 6 pkt 1c ustawy z dnia 27 kwietnia 2001r – Prawo ochrony środowiska (Dz.U. 2024 poz. 54).

Działając z upoważnienia T-Mobile Polska S.A. z siedzibą ul. Marynarska 12, 02-674 Warszawa, informuję o zmianie danych w zakresie wielkości i rodzaju emisji dla instalacji radiokomunikacyjnej **24032 (96021N!) WBI_BIALYSTOK_27LIPCA62** zlokalizowanej w miejscowości BIAŁYSTOK, ul. 42 PUŁKU PIECHOTY 62. W stosunku do informacji zawartej w zgłoszeniu realizowanym dla tej instalacji w trybie art. 152 ust. 1 i 5 ustawy z dnia 27 kwietnia 2001r – Prawo ochrony środowiska (Dz.U. 2024 poz. 54), dane ulegają zmianie w następujący sposób:

9. Wielkość i rodzaj emisji²⁾:

Pole elektromagnetyczne. EIRP poszczególnych anten zostało podane w pkt 12, tj.

Lp.	Równoważna moc promieniowana izotropowo (EIRP) [W]
1.	15738
2.	22646
3.	8676
4.	15738
5.	22646
6.	8676
7.	15738
8.	22646
9.	8676
10.	14827
11.	2819

Lp.	Równoważna moc promieniowana izotropowo (EIRP) [W]
12.	14
13.	14827
14.	2239
15.	2297/3389
16.	14
17.	126
18.	11777

12. Szczegółowe dane, odpowiednio do rodzaju instalacji, zgodne z wymaganiami określonymi w załączniku nr 2 do Rozporządzenia:

Lp.	1)	2)	3)	4)	5)	
	Współrzędne geograficzne	Częstotliwość lub zakresy częstotliwości pracy instalacji [MHz]	Wysokość środka elektrycznego anteny [m n.p.t]	Równoważna moc promieniowana izotropowo (EIRP) [W]	Azymut [°]	Kąt pochylenia lub zakresy kątów pochylenia [°]
1.	23°12'36.6" 53°8'27"	900/1800/2100	36	15738	10	-3-9/2.5/2.5
2.	23°12'36.6" 53°8'27"	3600	36	22646	10	-3-9
3.	23°12'36.7" 53°8'27"	800/2600	36	8676	10	-2-10/-4-8
4.	23°12'36.6" 53°8'26.9"	900/1800/2100	31	15738	133	-3-9/2.5/2.5
5.	23°12'36.7" 53°8'27"	3600	31	22646	133	-3-9
6.	23°12'36.6" 53°8'26.9"	800/2600	31	8676	133	-2-10/-4-8
7.	23°12'36.5" 53°8'27"	900/1800/2100	31	15738	254	-2-10/3.5/3.5
8.	23°12'36.5" 53°8'26.9"	3600	31	22646	254	-3-9
9.	23°12'36.5" 53°8'27"	800/2600	31	8676	254	-1-11/-3-9
10.	23°12'36.6" 53°8'27"	23000	59.7	14827	15*	nd.
11.	23°12'36.6" 53°8'27"	80000	55.8	2819	32*	nd.
12.	23°12'36.7" 53°8'27"	38000	53.2	14	76*	nd.
13.	23°12'36.6" 53°8'27"	23000	59.7	14827	105*	nd.
14.	23°12'36.7" 53°8'27"	80000	55.5	2239	122*	nd.
15.	23°12'36.6" 53°8'27"	23000/80000	58	2297/3389	175*	nd.
16.	23°12'36.5"	38000	60	14	276*	nd.

Lp.	1)	2)	3)	4)	5)	
	Współrzędne geograficzne	Częstotliwość lub zakresy częstotliwości pracy instalacji [MHz]	Wysokość środka elektrycznego anteny [m n.p.t]	Równoważna moc promieniowana izotropowo (EIRP) [W]	Azymut [°]	Kąt pochylenia lub zakresy kątów pochylenia [°]
	53°8'27"					
17.	23°12'36.5" 53°8'27"	80000	60	126	280*	nd.
18.	23°12'36.5" 53°8'27"	18000	59.7	11777	337*	nd.

*) tolerancja azymutu od -10° do + 10°.

Informuję, iż dokonane zmiany w zakresie wielkości i rodzaju emisji przedmiotowej instalacji nie powodują zmiany instalacji w sposób istotny zgodnie z art. 3 pkt 7 ustawy Poś.

W załączniku przesyłam:

1. Pełnomocnictwo
2. Kopia potwierdzenia wniesienia opłaty skarbowej.

Otrzymują:

1. a/a
2. adresat





NetWorks Sp. z o.o.
Laboratorium Badań Środowiskowych
ul. Józefa Piłsudskiego 3
00-728 Warszawa
e-mail: Laboratorium@networks.pl



AB 419

S P R A W O Z D A N I E 2566/2023/OS
Z POMIARÓW PÓL ELEKTROMAGNETYCZNYCH
WYKONANYCH DLA POTRZEB OCHRONY ŚRODOWISKA

Badany obiekt: Instalacja radiokomunikacyjna T-Mobile Polska S.A.
Numer i nazwa: 24032 (96021N!) WBI_BIALYSTOK_27LIPCA62
Adres: BIAŁYSTOK, 42 PUŁKU PIECHOTY 62, Powiat m. Białystok, WOJ. PODLASKIE

Data wykonania pomiarów: 2024-03-13

Sprawozdanie z badań bez pisemnej zgody laboratorium nie może być powielane inaczej niż w całości.
Wynik przedstawione w niniejszym sprawozdaniu odnoszą się wyłącznie do badanego obiektu i do warunków i konfiguracji urządzeń w dniu wykonywania pomiarów.

1. Właściciel badanego obiektu:

T-Mobile Polska S.A., ul. Marynarska 12, 02-674 Warszawa

2. Zleceniodawca:

T-Mobile Polska S.A., ul. Marynarska 12, 02-674 Warszawa

3. Przedstawiciel zleceniodawcy:

NetWorks Sp. z o.o.

4. Zakres zlecenia:

Wykonanie badania i opracowanie sprawozdania z pomiarów natężenia pola elektrycznego i pola magnetycznego dla instalacji radiokomunikacyjnej T-Mobile Polska S.A. zlokalizowanej w miejscowości BIAŁYSTOK, 42 PUŁKU PIECHOTY 62.

5. Cel zlecenia:

Wykonanie pomiarów pól elektromagnetycznych w otoczeniu instalacji radiokomunikacyjnej 24032 (96021N!) WBI_BIALYSTOK_27LIPCA62 w odniesieniu do wymagań określonych w *Rozporządzeniu Ministra Klimatu z dnia 17 lutego 2020 r. w sprawie sposobów sprawdzania dotrzymania dopuszczalnych poziomów pól elektromagnetycznych w środowisku (Dz.U. 2022 poz. 2630)*.

6. Pomiary zostały wykonane przez:



7. Informacje o źródłach pól elektromagnetycznych

7.1. Sposób identyfikacji badanych źródeł pól elektromagnetycznych

Identyfikacji źródeł i parametrów technicznych dokonano na podstawie analizy dokumentacji dotyczącej zlecenia oraz obserwacji miejsca wykonywania badań.

7.2. Opis miejsca zainstalowania anten i urządzeń technicznych. Opis obiektu badań i jego otoczenia

Instalacja radiokomunikacyjna zlokalizowana jest na terenie ogrodzonym. Anteny zawieszono na wieży strunobetonowej. Urządzenia sterujące oraz zasilające zainstalowano w kontenerze u podstawy wieży. Wokół instalacji wysypisko śmieci, tereny przemysłowe.

Instalacja radiokomunikacyjna jest obiektem bezobsługowym. Okresowe stanowiska pracy związane są z prowadzonymi w zależności od potrzeb konserwacjami, przeglądami, strojeniem i naprawami.

Sprawozdanie z badań bez pisemnej zgody laboratorium nie może być powielane inaczej niż w całości. Wynik przedstawione w niniejszym sprawozdaniu odnoszą się wyłącznie do badanego obiektu i do warunków i konfiguracji urządzeń w dniu wykonywania pomiarów.

7.3. Parametry techniczne źródła pola elektromagnetycznego

Dane przedstawiające maksymalne parametry pracy instalacji przekazane przez zleceniodawcę:

Parametry systemu nadawczo-odbiorczego:

Charakterystyka promieniowania		kierunkowa					
Rzeczywisty czas pracy [h/dobę]		24					
Warunki pracy		znamionowe					
Rodzaj wytwarzanego pola		stacjonarne					
Lp.	Częstotliwość lub zakresy częstotliwości pracy [MHz]	Typ/producent anteny	liczba anten	Azymut [°]	kąt pochylenia [°]	Wysokość środka elektrycznego anteny [m n.p.t.]	Równoważna moc promieniowana izotropowo (EIRP) [W]
1	900/1800/2100	ATR4518R13v06 Huawei	1	10	-3-9**/2.5*/2.5*	36	15738
2	3600	AQQQ NSN	1	10	-3-9**	36	22646
3	800/2600	ATR4518R13v06 Huawei	1	10	-2-10**/-4-8**	36	8676
4	900/1800/2100	ATR4518R13v06 Huawei	1	133	-3-9**/2.5*/2.5*	31	15738
5	3600	AQQQ NSN	1	133	-3-9**	31	22646
6	800/2600	ATR4518R13v06 Huawei	1	133	-2-10**/-4-8**	31	8676
7	900/1800/2100	ATR4518R13v06 Huawei	1	254	-2-10**/3.5*/3.5*	31	15738
8	3600	AQQQ NSN	1	254	-3-9**	31	22646
9	800/2600	ATR4518R13v06 Huawei	1	254	-1-11**/-3-9**	31	8676

* wskazane wartości kąta pochylenia anten, zgodnie z informacją uzyskaną od zleceniodawcy, są wartościami stałymi

** pomiary wykonano zgodnie z pkt 13., ppkt 2 załącznika do Rozporządzenia Ministra Klimatu z dnia 17 lutego 2020 r. (Dz. U. 2022, poz. 2630).

Parametry radiolinii:

Charakterystyka promieniowania		kierunkowa					
Rzeczywisty czas pracy [h/dobę]		24					
Warunki pracy		znamionowe					
Rodzaj wytwarzanego pola		stacjonarne					
Lp.	Linia radiowa			Antena			
	Typ/ Producent	Częstotliwość pracy [GHz]	Równoważna moc promieniowana izotropowo (EIRP) [W]	Typ/ producent	Średnica anteny [m]	Azymut [°]	Wysokość zainstalowania n.p.t [m]
1.	NP ERICSSON ML 6363 23GHz 2x56MHz XPIC Ericsson	23	14827	ANT2_1.2 23 HPX Ericsson	1.2	15	59.7
2.	NP ERICSSON ML 6352 R2+ 70/80GHz 500MHz Ericsson	80	2819	ANT2_0.3 80 HP/HPX Ericsson	0.3	32	55.8
3.	ERICSSON CN510 6363 Harris Stratex	38	14	ANT3_0.3 38 HP/HPX Ericsson	0.3	76	53.2
4.	NP ERICSSON ML 6363 23GHz 2x28MHz XPIC Ericsson	23	14827	ANT3_1.2 23 HP/HPX Ericsson	1.2	105	59.7
5.	NP ERICSSON ML 6352 R2+ 70/80GHz 250MHz Ericsson	80	2239	ANT2_0.6 80 HP/HPX Ericsson	0.6	122	55.5

Sprawozdanie z badań bez pisemnej zgody laboratorium nie może być powielane inaczej niż w całości.

Wynik przedstawione w niniejszym sprawozdaniu odnoszą się wyłącznie do badanego obiektu i do warunków i konfiguracji urządzeń w dniu wykonywania pomiarów.

Charakterystyka promieniowania			kierunkowa				
Rzeczywisty czas pracy [h/dobę]			24				
Warunki pracy			znamionowe				
Rodzaj wytwarzanego pola			stacjonarne				
Lp.	Linia radiowa			Antena			
	Typ/ Producent	Częstotliwość pracy [GHz]	Równoważna moc promieniowana izotropowo (EIRP) [W]	Typ/ producent	Średnica anteny [m]	Azymut [°]	Wysokość zainstalowania n.p.t [m]
6.	NP ERICSSON ML 6363 23GHz 2x28MHz XPIC <w:br/>NP ERICSSON ML 6352 R2+ 70/80GHz 250MHz Ericsson	23/80	2297/3389	ANT2/2_0.6 23/80 HPX/HP Ericsson	0.6	175	58
7.	Ericsson CN510 RAU2X Harris Stratex	38	14	ANT2_0.3 38 HP Ericsson	0.3	276	60
8.	Ericsson Mini-Link 6352 Harris Stratex	80	126	ANT2_0.3 80 HP Ericsson	0.3	280	60
9.	NP ERICSSON ML 6363 18GHz 2x56MHz XPIC Ericsson	18	11777	ANT3_1.2 18 HP/HPX Ericsson	1.2	337	59.7

7.4 Inne źródła pól elektromagnetycznych

Na podstawie informacji otrzymanych od użytkownika oraz obserwacji otoczenia miejsca wykonywania pomiarów stwierdzono występowanie innych źródeł pola-EM, pracujących w systemie: telefonii komórkowej (800MHz-2600MHz), linii radiowych (5GHz – 90GHz), które istotnie wpływają na wyniki pomiarów.

8. Opis pomiarów

8.1. Metoda badań

Zgodna z rozporządzeniem Ministra Klimatu z dnia 17 lutego 2020 r. w sprawie sposobów sprawdzania dotrzymania dopuszczalnych poziomów pól elektromagnetycznych w środowisku (Dz.U. 2022 poz. 2630), określona w pkt 25 ppkt 1 załącznika do niniejszego rozporządzenia.

8.2. Termin pomiarów i warunki środowiskowe

Podczas wykonywania pomiarów pól elektromagnetycznych nie występowały opady atmosferyczne. Wyniki pomiaru parametrów pogodowych przedstawia poniższa tabela:

Data [rrrr-mm-dd]	Godzina [hh:mm-hh:mm]	Warunki środowiskowe			
		Temperatura [°C]		Wilgotność względna [%]	
2024-03-13	13:10-14:50	Przed pomiarem	Po pomiarach	Przed pomiarem	Po pomiarach
		4.5	4.7	67.5	66.3

Przedstawione wyżej warunki środowiskowe, występujące podczas wykonywania pomiarów pól elektromagnetycznych, są zgodne ze specyfikacją techniczną użytego zestawu pomiarowego.

8.3. Warunki pracy urządzeń nadawczych

Podczas pomiarów w przypadku uzyskania wyniku pomiaru szerokopasmowego wykonanego zastosowaną metodą, dla zakresów częstotliwości od 10 MHz do 300 GHz, powiększonego o rozszerzoną niepewność pomiaru U dla współczynnika rozszerzenia $k = 2$ przekraczającego 70% najniższej dopuszczalnej wartości składowej elektrycznej lub magnetycznej pola dla objętych pomiarami zakresów częstotliwości, uwzględnia się poprawki pomiarowe przekazane przez zleceniodawcę, umożliwiające uwzględnienie maksymalnych parametrów pracy instalacji zgodnie z pkt 7 załącznika do Rozporządzeniem Ministra Klimatu z dnia 17 lutego 2020 r. w sprawie sposobów sprawdzania dotrzymania dopuszczalnych poziomów pól elektromagnetycznych w środowisku (Dz. U. 2022, poz. 2630) zaznaczając, że wymagane jest wykonanie pomiaru z wykorzystaniem miernika

Sprawozdanie z badań bez pisemnej zgody laboratorium nie może być powielane inaczej niż w całości.

Wynik przedstawione w niniejszym sprawozdaniu odnoszą się wyłącznie do badanego obiektu i do warunków i konfiguracji urządzeń w dniu wykonywania pomiarów.

selektywnego. W przypadku uzyskania wyniku pomiaru szerokopasmowego wykonanego zastosowaną metodą, dla zakresów częstotliwości od 10 MHz do 300 GHz, powiększonego o rozszerzoną niepewność pomiaru U dla współczynnika rozszerzenia $k = 2$ nieprzekraczającego 70% najniższej dopuszczalnej wartości składowej elektrycznej lub magnetycznej pola dla objętych pomiarami zakresów częstotliwości, nie uwzględnia się poprawek pomiarowych.

8.4. Wyposażenie pomiarowe

Zestaw pomiarowy służący do pomiaru natężenia składowej elektrycznej pola elektromagnetycznego złożony z szerokopasmowego miernika i sondy pomiarowej:

Oznaczenie miernika	Producent	Model	Numer fabryczny	Oznaczenie sondy	Producent	Model	Numer fabryczny
M-20	Narda Safety Test Solution	Miernik pól elektromagnetycznych NBM-550	H-0347	S-21	Narda Safety Test Solution	Sonda pomiarowa Narda EF6092	C-0114

Mierniki natężenia pola elektromagnetycznego podlegają okresowemu sprawdzeniu zgodnie z procedurą wewnętrzną P-03 i PB-01. Świadectwo wzorcowania zestawu pomiarowego z dnia 31 marca 2023 o numerze LWiMP/W/136/23 wydane przez Politechnikę Wrocławską.

Data ważności świadectwa wzorcowania: 31 marca 2025 (zgodnie z procedurą wewnętrzną P-03).

Oznaczenie miernika	Producent	Model	Numer fabryczny	Oznaczenie sondy	Producent	Model	Numer fabryczny
M-20	Narda Safety Test Solution	Miernik pól elektromagnetycznych NBM-550	H-0347	S-22	Narda Safety Test Solution	Sonda EF0391	D-1516

Mierniki natężenia pola elektromagnetycznego podlegają okresowemu sprawdzeniu zgodnie z procedurą wewnętrzną P-03 i PB-01. Świadectwo wzorcowania zestawu pomiarowego z dnia 29 lutego 2024 o numerze LWiMP/W/062/24 wydane przez Politechnikę Wrocławską.

Data ważności świadectwa wzorcowania: 28 lutego 2026 (zgodnie z procedurą wewnętrzną P-03).

Termohigrometr:

Oznaczenie:	TH-19	Producent:	AZ INSTRUMENT CORP	Model:	Termohigrometr AZ8706
-------------	-------	------------	--------------------	--------	-----------------------

Data ważności świadectwa wzorcowania: 19 maja 2024 (zgodnie z procedurą wewnętrzną P-03).

Dalmierz:

Oznaczenie	Producent	Typ	Numer seryjny	Nr świadectwa wzorcowania	Data świadectwa wzorcowania
D-02	Leica	Dalmierz Leica Disto X310	842350466	1146.6-M11-4180-396/15	8 kwietnia 2015

Data ważności świadectwa wzorcowania: 8 kwietnia 2025 (zgodnie z procedurą wewnętrzną P-03).

Odbiornik GNSS:

Oznaczenie	Producent	Model	Numer fabryczny
G-04	Stonex	S7-G GIS	S7G4083040010

Odbiorniki podlegają okresowemu sprawdzeniu zgodnie z procedurą wewnętrzną P-03.

Sprawozdanie z badań bez pisemnej zgody laboratorium nie może być powielane inaczej niż w całości. Wynik przedstawione w niniejszym sprawozdaniu odnoszą się wyłącznie do badanego obiektu i do warunków i konfiguracji urządzeń w dniu wykonywania pomiarów.

9. Wyniki pomiarów

Pole elektryczne

Nr pionu	Opis umiejscowienia pionu (punktu) pomiarowego	Wysokość pomiaru [m]	Zmierzona wartość natężenia pola elektrycznego E [V/m] ^{1,5}			Wartość natężenia pola elektrycznego powiększona o niepewność pomiaru ⁴ E [V/m]	Wskaźnikowa wartość poziomu emisji pól elektromagnetycznych WMe ³	Współrzędne geograficzne pionu (punktu) pomiarowego ²
			Sonda S-21	Sonda S-22	SUMA			
1	DPP, parterowy budynek biurowy, płaszczyzna okna, ul. 42 Pułku Piechoty 48	2.0	2.2	2.2	2.2	2.9	0.1	53°8'27.6" 23°12'36.7"
2	GKP w odległości 10m od anteny sektorowej az. 10°	2.0	2.3	2.3	2.3	3	0.11	53°8'27.2" 23°12'36.7"
3	GKP w odległości 46m od anteny sektorowej az. 10°	2.0	2.4	2.4	2.4	3.1	0.11	53°8'28.3" 23°12'37.1"
4	GKP w odległości 89m od anteny sektorowej az. 10°	2.0	2.2	2.2	2.2	2.9	0.1	53°8'29.8" 23°12'37.4"
5	GKP w odległości 55m od anteny radioliniowej az. 15°	2.0	2.2	2.2	2.2	2.9	0.1	53°8'28.7" 23°12'37.4"
6	GKP w odległości 49m od anteny radioliniowej az. 32°	2.0	2.8	2.8	2.8	3.6	0.13	53°8'28.3" 23°12'38.2"
7	GKP w odległości 53m od anteny radioliniowej az. 76°	2.0	1.8	1.8	1.8	2.3	0.08	53°8'27.2" 23°12'39.2"
8	GKP w odległości 50m od anteny radioliniowej az. 105°	2.0	2.4	2.4	2.4	3.1	0.11	53°8'26.5" 23°12'39.2"
9	GKP w odległości 47m od anteny radioliniowej az. 122°	2.0	3.2	3.2	3.2	4.2	0.15	53°8'26.2" 23°12'38.9"
10	GKP w odległości 16m od anteny sektorowej az. 133°	2.0	1.7	1.7	1.7	2.2	0.08	53°8'26.5" 23°12'37.4"
11	GKP w odległości 55m od anteny sektorowej az. 133°	2.0	4.1	4.1	4.1	5.3	0.19	53°8'25.8" 23°12'38.9"
12	GKP w odległości 91m od anteny sektorowej az. 133°	2.0	4.4	4.4	4.4	5.7	0.2	53°8'25.1" 23°12'40.3"
13	GKP w odległości 49m od anteny radioliniowej az. 175°	2.0	1.6	1.6	1.6	2.1	0.07	53°8'25.4" 23°12'36.7"
14	GKP w odległości 47m od anteny sektorowej az. 254°	2.0	1.9	1.9	1.9	2.5	0.09	53°8'26.5" 23°12'34.2"
15	GKP w odległości 100m od anteny sektorowej az. 254°	0.3-2.0	<1.0*	<1.0*	<1.0*	1.3	0.05	53°8'26.2" 23°12'31.3"

Sprawozdanie z badań bez pisemnej zgody laboratorium nie może być powielane inaczej niż w całości.

Wynik przedstawione w niniejszym sprawozdaniu odnoszą się wyłącznie do badanego obiektu i do warunków i konfiguracji urządzeń w dniu wykonywania pomiarów.

16	GKP w odległości 51m od anteny radioliniowej az. 275°	2.0	1.9	1.9	1.9	2.5	0.09	53°8'27.2" 23°12'33.8"
17	GKP w odległości 89m od anteny radioliniowej az. 280°	0.3-2.0	<1.0*	<1.0*	<1.0*	1.3	0.05	53°8'27.6" 23°12'31.7"
18	GKP w odległości 51m od anteny radioliniowej az. 337°	2.0	1.6	1.6	1.6	2.1	0.07	53°8'28.7" 23°12'35.3"
19	PKP na az. 335° w odległości 15m od anteny sektorowej az. 10°	2.0	2.7	2.7	2.7	3.5	0.13	53°8'27.6" 23°12'36.4"
20	PKP na az. 350° w odległości 30m od anteny sektorowej az. 10°	2.0	3.0	3.0	3.0	3.9	0.14	53°8'28.0" 23°12'36.4"
21	PKP na az. 3° w odległości 41m od anteny sektorowej az. 10°	2.0	2.4	2.4	2.4	3.1	0.11	53°8'28.3" 23°12'36.7"
22	PKP na az. 17° w odległości 41m od anteny sektorowej az. 10°	2.0	2.6	2.6	2.6	3.4	0.12	53°8'28.3" 23°12'37.1"
23	PKP na az. 30° w odległości 41m od anteny sektorowej az. 10°	2.0	2.4	2.4	2.4	3.1	0.11	53°8'28.3" 23°12'37.8"
24	PKP na az. 45° w odległości 40m od anteny sektorowej az. 10°	2.0	2.6	2.6	2.6	3.4	0.12	53°8'28.0" 23°12'38.2"
25	PKP na az. 98° w odległości 35m od anteny sektorowej az. 133°	2.0	2.2	2.2	2.2	2.9	0.1	53°8'26.9" 23°12'38.5"
26	PKP na az. 113° w odległości 40m od anteny sektorowej az. 133°	2.0	2.4	2.4	2.4	3.1	0.11	53°8'26.5" 23°12'38.5"
27	PKP na az. 126° w odległości 39m od anteny sektorowej az. 133°	2.0	3.8	3.8	3.8	4.9	0.18	53°8'26.2" 23°12'38.5"
28	PKP na az. 140° w odległości 39m od anteny sektorowej az. 133°	2.0	3.6	3.6	3.6	4.7	0.17	53°8'26.2" 23°12'38.2"
29	PKP na az. 153° w odległości 40m od anteny sektorowej az. 133°	2.0	3.2	3.2	3.2	4.2	0.15	53°8'25.8" 23°12'37.8"
30	PKP na az. 168° w odległości 47m od anteny sektorowej az. 133°	2.0	2.2	2.2	2.2	2.9	0.1	53°8'25.4" 23°12'37.1"
31	PKP na az. 225° w odległości 87m od anteny sektorowej az. 254°	0.3-2.0	1.8	1.8	1.8	2.3	0.08	53°8'25.1" 23°12'33.1"

Sprawozdanie z badań bez pisemnej zgody laboratorium nie może być powielane inaczej niż w całości.
 Wynik przedstawione w niniejszym sprawozdaniu odnoszą się wyłącznie do badanego obiektu i do warunków i konfiguracji urządzeń w dniu wykonywania pomiarów.

32	PKP na az. 234° w odległości 57m od anteny sektorowej az. 254°	2.0	2.2	2.2	2.2	2.9	0.1	53°8'25.8" 23°12'34.2"
33	PKP na az. 247° w odległości 50m od anteny sektorowej az. 254°	2.0	2.0	2.0	2.0	2.6	0.09	53°8'26.2" 23°12'33.8"
34	PKP na az. 261° w odległości 47m od anteny sektorowej az. 254°	2.0	1.8	1.8	1.8	2.3	0.08	53°8'26.5" 23°12'33.8"
35	PKP na az. 274° w odległości 39m od anteny sektorowej az. 254°	2.0	2.1	2.1	2.1	2.7	0.1	53°8'26.9" 23°12'34.6"
36	PKP na az. 289° w odległości 43m od anteny sektorowej az. 254°	2.0	1.8	1.8	1.8	2.3	0.08	53°8'27.2" 23°12'34.2"
37	DPP, parterowy budynek magazynowy, płaszczyzna okna, ul. Komunalna 3B	2.0	2.2	2.2	2.2	2.9	0.1	53°8'28.3" 23°12'36.4"
38	DPP, parterowy budynek przemysłowy, płaszczyzna okna, ul. Komunalna 3	2.0	1.7	1.7	1.7	2.2	0.08	53°8'26.9" 23°12'36.0"
39	DPP, parterowa część budynku przemysłowego, płaszczyzna okna, ul. Komunalna 3	2.0	2.3	2.3	2.3	3	0.11	53°8'26.5" 23°12'33.5"
-	GKP w odległości 358m od anteny sektorowej az. 10°	0.3-2.0	<1.0*	<1.0*	<1.0*	1.3	0.05	53°8'38.4" 23°12'40.0"
-	GKP w odległości 298m od anteny sektorowej az. 133°	0.3-2.0	<1.0*	<1.0*	<1.0*	1.3	0.05	53°8'20.4" 23°12'48.2"
-	GKP w odległości 362m od anteny sektorowej az. 254°	0.3-2.0	<1.0*	<1.0*	<1.0*	1.3	0.05	53°8'23.6" 23°12'17.6"

Pole magnetyczne (wyznaczone na podstawie pomiaru wartości natężenia pola elektrycznego)

Nr pionu	Opis umiejscowienia pionu (punktu) pomiarowego	Wysokość pomiaru [m]	Wartość natężenia pola magnetycznego H [A/m]			Wartość natężenia pola magnetycznego powiększona o niepewność pomiaru ⁴ H [A/m]	Wskaźnikowa wartość emisji pól elektromagnetycznych WM _H ³	Współrzędne geograficzne pionu (punktu) pomiarowego ²
			Sonda S-21	Sonda S-22	SUMA			
1	DPP, parterowy budynek biurowy, płaszczyzna okna, ul. 42 Pułku Piechoty 48	2.0	0.006	0.006	0.006	0.008	0.1	53°8'27.6" 23°12'36.7"
2	GKP w odległości 10m od anteny sektorowej az. 10°	2.0	0.006	0.006	0.006	0.008	0.11	53°8'27.2" 23°12'36.7"

Sprawozdanie z badań bez pisemnej zgody laboratorium nie może być powielane inaczej niż w całości.
 Wynik przedstawione w niniejszym sprawozdaniu odnoszą się wyłącznie do badanego obiektu i do warunków i konfiguracji urządzeń w dniu wykonywania pomiarów.

3	GKP w odległości 46m od anteny sektorowej az. 10°	2.0	0.006	0.006	0.006	0.008	0.11	53°8'28.3" 23°12'37.1"
4	GKP w odległości 89m od anteny sektorowej az. 10°	2.0	0.006	0.006	0.006	0.008	0.1	53°8'29.8" 23°12'37.4"
5	GKP w odległości 55m od anteny radioliniowej az. 15°	2.0	0.006	0.006	0.006	0.008	0.1	53°8'28.7" 23°12'37.4"
6	GKP w odległości 49m od anteny radioliniowej az. 32°	2.0	0.007	0.007	0.007	0.01	0.13	53°8'28.3" 23°12'38.2"
7	GKP w odległości 53m od anteny radioliniowej az. 76°	2.0	0.005	0.005	0.005	0.006	0.09	53°8'27.2" 23°12'39.2"
8	GKP w odległości 50m od anteny radioliniowej az. 105°	2.0	0.006	0.006	0.006	0.008	0.11	53°8'26.5" 23°12'39.2"
9	GKP w odległości 47m od anteny radioliniowej az. 122°	2.0	0.008	0.008	0.008	0.011	0.15	53°8'26.2" 23°12'38.9"
10	GKP w odległości 16m od anteny sektorowej az. 133°	2.0	0.005	0.005	0.005	0.006	0.08	53°8'26.5" 23°12'37.4"
11	GKP w odległości 55m od anteny sektorowej az. 133°	2.0	0.011	0.011	0.011	0.014	0.19	53°8'25.8" 23°12'38.9"
12	GKP w odległości 91m od anteny sektorowej az. 133°	2.0	0.012	0.012	0.012	0.015	0.21	53°8'25.1" 23°12'40.3"
13	GKP w odległości 49m od anteny radioliniowej az. 175°	2.0	0.004	0.004	0.004	0.006	0.08	53°8'25.4" 23°12'36.7"
14	GKP w odległości 47m od anteny sektorowej az. 254°	2.0	0.005	0.005	0.005	0.007	0.09	53°8'26.5" 23°12'34.2"
15	GKP w odległości 100m od anteny sektorowej az. 254°	0.3-2.0	<0.003*	<0.003*	<0.003*	0.003	0.05	53°8'26.2" 23°12'31.3"
16	GKP w odległości 51m od anteny radioliniowej az. 276°	2.0	0.005	0.005	0.005	0.007	0.09	53°8'27.2" 23°12'33.8"
17	GKP w odległości 89m od anteny radioliniowej az. 280°	0.3-2.0	<0.003*	<0.003*	<0.003*	0.003	0.05	53°8'27.6" 23°12'31.7"

Sprawozdanie z badań bez pisemnej zgody laboratorium nie może być powielane inaczej niż w całości.
 Wynik przedstawione w niniejszym sprawozdaniu odnoszą się wyłącznie do badanego obiektu i do warunków i konfiguracji urządzeń w dniu wykonywania pomiarów.

18	GKP w odległości 51m od anteny radiolokacyjnej az. 337°	2.0	0.004	0.004	0.004	0.006	0.08	53°8'28.7" 23°12'35.3"
19	PKP na az. 335° w odległości 16m od anteny sektorowej az. 10°	2.0	0.007	0.007	0.007	0.009	0.13	53°8'27.6" 23°12'36.4"
20	PKP na az. 350° w odległości 30m od anteny sektorowej az. 10°	2.0	0.008	0.008	0.008	0.01	0.14	53°8'28.0" 23°12'36.4"
21	PKP na az. 3° w odległości 41m od anteny sektorowej az. 10°	2.0	0.006	0.006	0.006	0.008	0.11	53°8'28.3" 23°12'36.7"
22	PKP na az. 17° w odległości 41m od anteny sektorowej az. 10°	2.0	0.007	0.007	0.007	0.009	0.12	53°8'28.3" 23°12'37.1"
23	PKP na az. 30° w odległości 41m od anteny sektorowej az. 10°	2.0	0.006	0.006	0.006	0.008	0.11	53°8'28.3" 23°12'37.8"
24	PKP na az. 45° w odległości 40m od anteny sektorowej az. 10°	2.0	0.007	0.007	0.007	0.009	0.12	53°8'28.0" 23°12'38.2"
25	PKP na az. 98° w odległości 35m od anteny sektorowej az. 133°	2.0	0.006	0.006	0.006	0.008	0.1	53°8'26.9" 23°12'38.5"
26	PKP na az. 113° w odległości 40m od anteny sektorowej az. 133°	2.0	0.006	0.006	0.006	0.008	0.11	53°8'26.5" 23°12'38.5"
27	PKP na az. 126° w odległości 39m od anteny sektorowej az. 133°	2.0	0.010	0.010	0.010	0.013	0.18	53°8'26.2" 23°12'38.5"
28	PKP na az. 140° w odległości 39m od anteny sektorowej az. 133°	2.0	0.010	0.010	0.010	0.012	0.17	53°8'26.2" 23°12'38.2"
29	PKP na az. 153° w odległości 40m od anteny sektorowej az. 133°	2.0	0.008	0.008	0.008	0.011	0.15	53°8'25.8" 23°12'37.8"
30	PKP na az. 168° w odległości 47m od anteny sektorowej az. 133°	2.0	0.006	0.006	0.006	0.008	0.1	53°8'25.4" 23°12'37.1"
31	PKP na az. 225° w odległości 87m od anteny	0.3-2.0	0.005	0.005	0.005	0.006	0.09	53°8'25.1" 23°12'33.1"

Sprawozdanie z badań bez pisemnej zgody laboratorium nie może być powielane inaczej niż w całości.
 Wynik przedstawione w niniejszym sprawozdaniu odnoszą się wyłącznie do badanego obiektu i do warunków i konfiguracji urządzeń w dniu wykonywania pomiarów.

	sektorowej az. 254°							
32	PKP na az. 234° w odległości 57m od anteny sektorowej az. 254°	2.0	0.006	0.006	0.006	0.008	0.1	53°8'25.8" 23°12'34.2"
33	PKP na az. 247° w odległości 50m od anteny sektorowej az. 254°	2.0	0.005	0.005	0.005	0.007	0.09	53°8'26.2" 23°12'33.8"
34	PKP na az. 261° w odległości 47m od anteny sektorowej az. 254°	2.0	0.005	0.005	0.005	0.006	0.09	53°8'26.5" 23°12'33.8"
35	PKP na az. 274° w odległości 39m od anteny sektorowej az. 254°	2.0	0.006	0.006	0.006	0.007	0.1	53°8'26.9" 23°12'34.6"
36	PKP na az. 289° w odległości 43m od anteny sektorowej az. 254°	2.0	0.005	0.005	0.005	0.006	0.09	53°8'27.2" 23°12'34.2"
37	DPP, parterowy budynek magazynowy, płaszczyzna okna, ul. Komunalna 3B	2.0	0.006	0.006	0.006	0.008	0.1	53°8'28.3" 23°12'36.4"
38	DPP, parterowy budynek przemysłowy, płaszczyzna okna, ul. Komunalna 3	2.0	0.005	0.005	0.005	0.006	0.08	53°8'26.9" 23°12'36.0"
39	DPP, parterowa część budynku przemysłowego, płaszczyzna okna, ul. Komunalna 3	2.0	0.006	0.006	0.006	0.008	0.11	53°8'26.5" 23°12'33.5"
-	GKP w odległości 358m od anteny sektorowej az. 10°	0.3-2.0	<0.003*	<0.003*	<0.003*	0.003	0.05	53°8'38.4" 23°12'40.0"
-	GKP w odległości 298m od anteny sektorowej az. 133°	0.3-2.0	<0.003*	<0.003*	<0.003*	0.003	0.05	53°8'20.4" 23°12'48.2"
-	GKP w odległości 362m od anteny sektorowej az. 254°	0.3-2.0	<0.003*	<0.003*	<0.003*	0.003	0.05	53°8'23.6" 23°12'17.6"

GKP – Główny Kierunek Pomiarowy

DPP – Dodatkowy Pion Pomiarowy

PKP – Pomocniczy Kierunek Pomiarowy

¹ wyniki oznaczone * są wynikami poniżej czułości zestawu pomiarowego i są wynikami spoza zakresu akredytacji. Do obliczenia wyniku skorygowanego przyjęto wartość skorelowaną z rzeczywistym wynikiem pomiaru - dolną granicę akredytowanego zakresu pomiarowego metody

² współrzędne geograficzne pozyskane metodą pomiaru bezpośredniego

Sprawozdanie z badań bez pisemnej zgody laboratorium nie może być powielane inaczej niż w całości.

Wynik przedstawione w niniejszym sprawozdaniu odnoszą się wyłącznie do badanego obiektu i do warunków i konfiguracji urządzeń w dniu wykonywania pomiarów.

³ do wyznaczenia wartości wskaźnikowej WM_E i WM_H przyjęto na podstawie uzgodnień z klientem oraz rozpoznania źródeł, jako wartości dopuszczalne pola elektrycznego i magnetycznego odpowiednio 28 V/m i 0,073 A/m.

⁴ do wyznaczenia niepewności dla wyników poniżej czułości zestawu pomiarowego, przyjęto niepewność dla minimalnej wartości z zakresu pomiarowego.

⁵ maksymalna wartość chwilowa

Niepewność oszacowano zgodnie z dokumentem P-03 „Procedura nadzoru nad wyposażeniem” w postaci niepewności rozszerzonej wynikającej z niepewności standardowej pomnożonej przez współczynnik rozszerzenia $k=2$.

Całkowita szacowana niepewność rozszerzona składowej E wynosi odpowiednio:

sonda S-21: 30% dla częstotliwości do 4 GHz, sonda S-22: 47,4% dla częstotliwości do 4 GHz

Umiejscowienie pionów (punktów) pomiarowych przedstawiono w załączniku nr 2 do niniejszego sprawozdania.

10. Omówienie wyników pomiarów

W związku z tym, że żadna z wartości zmierzonych, udokumentowanych w tabelach w pkt. 9, uzyskanych w skutek zastosowania pomiaru szerokopasmowego, powiększonego o rozszerzoną niepewność pomiaru U dla współczynnika rozszerzenia $k = 2$ nie przekroczyła 70% najniższej dopuszczalnej wartości składowej elektrycznej lub magnetycznej pola dla objętych pomiarami zakresów częstotliwości, nie uwzględnia się poprawek pomiarowych.

W wyniku zastosowania sposobu sprawdzenia dotrzymania dopuszczalnych poziomów pól elektromagnetycznych w środowisku, zgodnie pkt 25 ppkt 1 Rozporządzenia Ministra Klimatu z dnia 17 lutego 2020 r. (Dz. U. 2022, poz. 2630), w związku z tym, że żadna z wartości wskaźnikowych, udokumentowanych w tabelach w pkt. 9 nie przekracza wartości 1, stwierdza się, że w miejscach, w których wykonano pomiary w otoczeniu instalacji radiokomunikacyjnej 24032 (96021N!) WBI_BIALYSTOK_27LIPCA62, dopuszczalne poziomy pól elektromagnetycznych w środowisku należy uznać za dotrzymane.

11. Podstawa prawna

- 1) Ustawa z dnia 27 kwietnia 2001 r. Prawo ochrony środowiska (Dz.U. 2022 poz. 2556)
- 2) Rozporządzenie Ministra Zdrowia z dnia 17 grudnia 2019 r. w sprawie dopuszczalnych poziomów pól elektromagnetycznych w środowisku (Dz. U. 2019, poz. 2448)
- 3) Rozporządzenie Ministra Klimatu z dnia 17 lutego 2020 r. w sprawie sposobów sprawdzania dotrzymania dopuszczalnych poziomów pól elektromagnetycznych w środowisku (Dz. U. 2022, poz. 2630),
- 4) Akredytacja nr AB 419 wydana przez Polskie Centrum Akredytacji (wydanie 22, z dnia 9 stycznia 2024 r.)

12. Spis załączników

- Załącznik 1. Lokalizacja obiektu badań
- Załącznik 2. Usytuowanie pionów (punktów) pomiarowych
- Załącznik 3. Dokumentacja fotograficzna obiektu badań

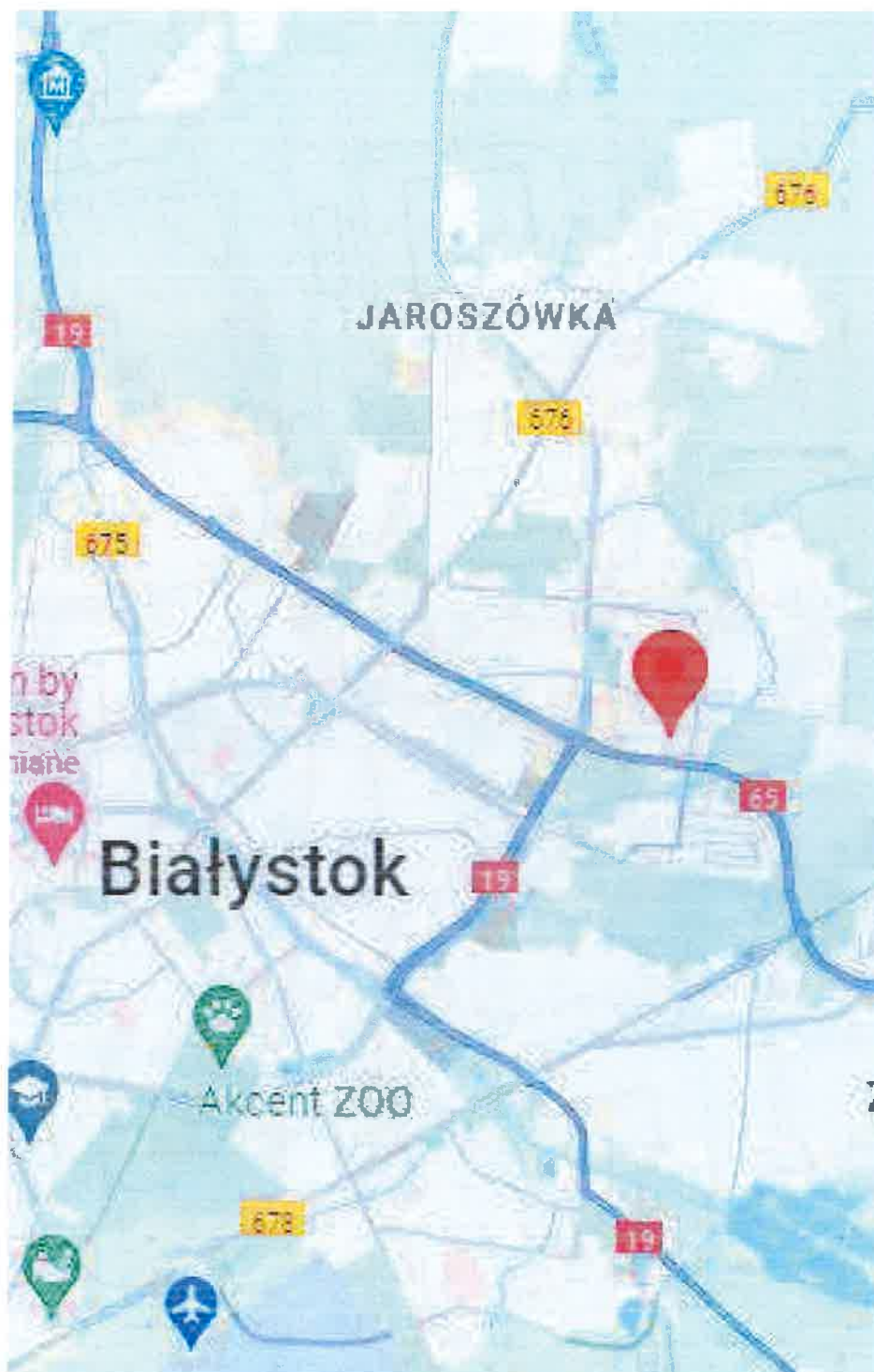
13. Data wydania i autoryzowania sprawozdania

Obliczenia i sprawozdanie wykonał :

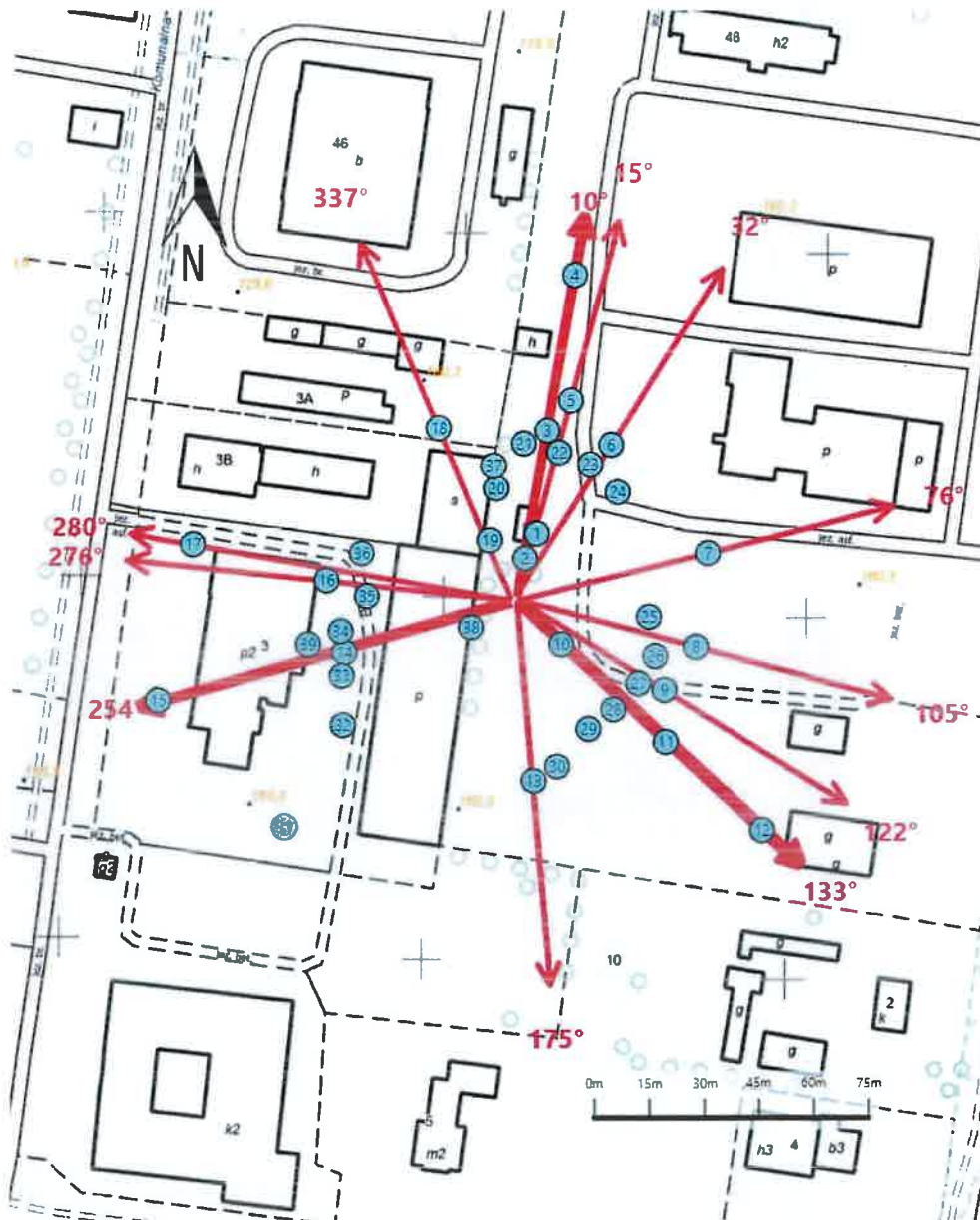
Sprawozdanie autoryzował:

Koniec sprawozdania

Sprawozdanie z badań bez pisemnej zgody laboratorium nie może być powielane inaczej niż w całości.
Wynik przedstawione w niniejszym sprawozdaniu odnoszą się wyłącznie do badanego obiektu i do warunków i konfiguracji urządzeń w dniu wykonywania pomiarów.



Załącznik nr 1	<p>Instalacja radiokomunikacyjna T-Mobile Polska S.A. 24032 (96021N!) WBI_BIALYSTOK_27LIPCA62</p> <p>Lokalizacja instalacji radiokomunikacyjnej</p>
----------------	---



Załącznik nr 2	<p style="text-align: center;">Instalacja radiokomunikacyjna T-Mobile Polska S.A. WBI_BIALYSTOK_27LIPCA62 (96021N!) Usytuowanie pionów pomiarowych w otoczeniu instalacji radiokomunikacyjnej</p>
Legenda:	<p style="text-align: center;"> X Brak dostępu X Pion pomiarowy Kierunek oddziaływania anten sektorowych Kierunek oddziaływania anten radioliniowych</p>



Załącznik nr 3

Instalacja radiokomunikacyjna T-Mobile Polska S.A.
24032 (96021N!) WBi_BIALYSTOK_27LIPCA62

Dokumentacja fotograficzna